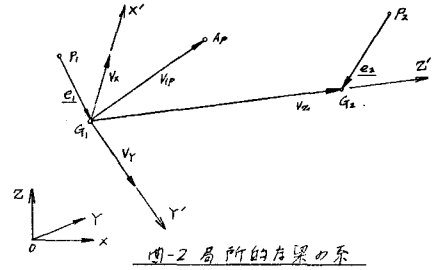




$$e_N = \{ \delta \quad \phi_{x1} \quad \phi_{x2} \quad \phi_{y1} \quad \phi_{y2} \quad \theta \quad \bar{\theta}_1 \quad \bar{\theta}_2 \} \quad (4)$$

これより固有剛性構造全体の解析に用いる全体系での剛性マトリックスに変換しなければならない。  
要素固有剛性  $K_N$  の全体系での要素剛性  $K$  への変換は、次の4つのステップを踏んで行なう。この場合では、傾斜した系が含まれるのでより場合を考慮している。

まず梁の固有座系を  $\bar{x}$ - $\bar{z}$  に表わして置く。  $\bar{x}$ - $\bar{z}$  より  $X'$ 、 $Y'$  軸は、梁の断面主軸と一致する必要はない。



(a). 固有系から中間的座系への変換

図-1と図-2を参照して固有力をそれぞれの重心に関するものに交換する。力と変位の列マトリックスは、

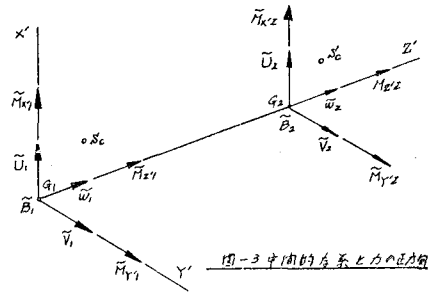
$$\bar{P} = \{ \bar{P}_1 \quad \bar{P}_2 \}, \quad \bar{e} = \{ \bar{e}_1 \quad \bar{e}_2 \} \quad (5)$$

ここで

$$\bar{P}_i = \{ \bar{U}_i \quad \bar{V}_i \quad \bar{W}_i \quad \bar{M}_{xi} \quad \bar{M}_{yi} \quad \bar{M}_{zi} \quad \bar{B}_i \}$$

$$\bar{e}_i = \{ \bar{u}_i \quad \bar{v}_i \quad \bar{w}_i \quad \bar{\phi}_{xi} \quad \bar{\phi}_{yi} \quad \bar{\phi}_{zi} \quad \bar{\theta}_i \}$$

(6)



である。中間的座系と固有系の間の変換は、

$$\bar{P} = \bar{a}^t P_N, \quad e_N = \bar{a} \bar{e} \quad (7)$$

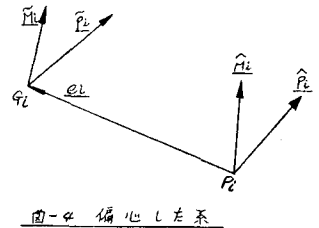
と定義できる。ここで  $\bar{a}^t$  は、その断面中心軸に関する力を重心軸に関する力に変換するマトリックスである。

(b). 中間的座系から偏心した座系への変換

図-4を参照して力を重心  $G_2$  から偏心節点  $P_2$  に変換する。

この場合ベクトルの関係等は、次のようになる。

$$\begin{aligned} \hat{P}_2 &= \bar{P}_2 \\ \hat{M}_2 &= \bar{M}_2 + e_2 \times \bar{P}_2 \\ \hat{B}_2 &= \bar{B}_2 \end{aligned} \quad (8)$$



バイモーメントの変換では、9.1による力の相互作用が無視できると仮定している。偏心した座系と中間的座系の間の変換は、

$$\hat{P} = \hat{a}^t \bar{P}, \quad \bar{e} = \hat{a} \hat{P} \quad (9)$$

と定義できる。この変換マトリックスは、次のような  $(14 \times 14)$  の対角部分マトリックスとなる。

$$\hat{a}^t = \begin{bmatrix} \cdot & \cdot & \cdot \\ \cdot & \cdot & \cdot \\ \cdot & \cdot & \cdot \end{bmatrix} \quad (10)$$

ここで(7×7)の  $T_i$  は、同心軸での力と偏心した節点での力に変換するマトリックスである。

(c). 偏心した局所系から全体系への変換

ここでの変換は、次のように定義できる。

$$P = a^t \hat{P} \quad , \quad \hat{e} = a e \quad (11)$$

この変換マトリックスは、(14×14)の対角部分マトリックスとなる。

$$a^t = \begin{bmatrix} \cdot & \cdot & \cdot & \cdot & \cdot & \cdot & \cdot & \cdot \\ \cdot & \cdot & \cdot & \cdot & \cdot & \cdot & \cdot & \cdot \\ \cdot & \cdot & \cdot & \cdot & \cdot & \cdot & \cdot & \cdot \\ \cdot & \cdot & \cdot & \cdot & \cdot & \cdot & \cdot & \cdot \\ \cdot & \cdot & \cdot & \cdot & \cdot & \cdot & \cdot & \cdot \\ \cdot & \cdot & \cdot & \cdot & \cdot & \cdot & \cdot & \cdot \\ \cdot & \cdot & \cdot & \cdot & \cdot & \cdot & \cdot & \cdot \\ \cdot & \cdot & \cdot & \cdot & \cdot & \cdot & \cdot & \cdot \end{bmatrix} \quad (12)$$

ここで  $D$  は、全体系と局所系とを結ぶ(3×3)の座標変換マトリックスである。全体系での力と変位の列マトリックスは、(12)式で与えられる。

$$P = \{ P_1 \quad P_2 \} \quad , \quad e = \{ e_1 \quad e_2 \} \quad (13)$$

ここで

$$P_i = \{ U_i \quad V_i \quad W_i \quad M_{xi} \quad M_{yi} \quad M_{zi} \quad B_i \} \\ e_i = \{ u_i \quad v_i \quad w_i \quad \phi_{xi} \quad \phi_{yi} \quad \phi_{zi} \quad \psi_i \} \quad (14)$$

$u_i, v_i, w_i$  は節点での軸方向変位,  $\phi_{xi}, \phi_{yi}, \phi_{zi}$  は回転変位,  $\psi_i$  はバネメント  $B_i$  に対応するスリ自由度を表わしている。

(d). 全体系から傾斜した系への変換

構造内に傾斜した系がある場合、全体系から傾斜した系への変換は、次の関係式で表わされる。

$$P^* = a^{*t} P \quad , \quad e = a^* e^* \quad (15)$$

この変換マトリックスは、次のような対角部分マトリックスの形となる。

$$a^{*t} = \begin{bmatrix} \cdot & \cdot & \cdot & \cdot & \cdot & \cdot & \cdot & \cdot \\ \cdot & \cdot & \cdot & \cdot & \cdot & \cdot & \cdot & \cdot \\ \cdot & \cdot & \cdot & \cdot & \cdot & \cdot & \cdot & \cdot \\ \cdot & \cdot & \cdot & \cdot & \cdot & \cdot & \cdot & \cdot \\ \cdot & \cdot & \cdot & \cdot & \cdot & \cdot & \cdot & \cdot \\ \cdot & \cdot & \cdot & \cdot & \cdot & \cdot & \cdot & \cdot \\ \cdot & \cdot & \cdot & \cdot & \cdot & \cdot & \cdot & \cdot \\ \cdot & \cdot & \cdot & \cdot & \cdot & \cdot & \cdot & \cdot \end{bmatrix} \quad (16)$$

ここで  $D_i^*$  は、傾斜した系と全体系との間の座標変換マトリックスである。以上より上記のマトリックスに比してはより固有の系から全体の系、さらには傾斜した系への変換を行なうことができる。ここで固有剛性  $K_N$  を最終的要素剛性  $K$  に変換するには、簡単に次式のように表わされる。

$$K = a_N^t K_N a_N \quad (17)$$

ここで  $a_N = \hat{a} \hat{a} a a^*$  は固有系と全体系と関係する変換マトリックスである。

4. 計算例

1a). 変断面片持梁

梁の軸（同心軸）が一致してゐない変断面梁を有する構造物の解析を行ふ場合、軸の不連続性を考慮したものとしないとの違いは、どのような相違があるかを検討するために図-5のような変断面片持梁の解析を行った。偏心を考慮すべきか否かを判断するために、同心軸が連続してゐる状態をモデル化し、断面変化は軸の偏心量に等価なモーメントを補正した結果と比較した。それぞれをモデル化した結果と荷重状態は図-6に示してあり、変位の比較結果は図-7に示した。

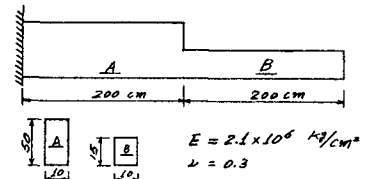


図-5 変断面片持梁の断面手法

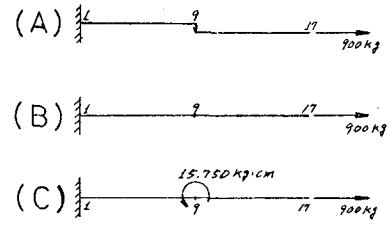


図-6 モデル化

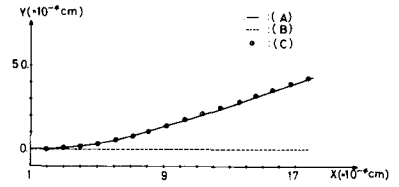


図-7 変位図

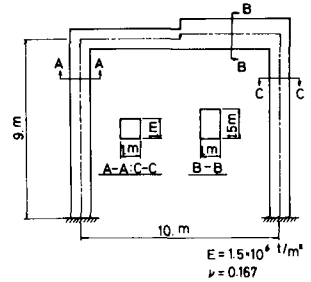


図-8 門形ラーメン

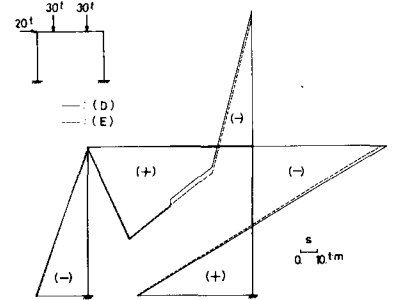


図-9 モーメント図

1b). 不等断面梁を有する門形ラーメン

高架道路の下部構造としてしばしば用いられることのある図-8のような門形ラーメンの解析を行ひ、偏心を考慮した場合(D)としない場合(E)とす。どのような相違があるかを検討し曲げモーメントについての比較結果は図-9に示した。

4. 考察

図-7より偏心を考慮した結果とモーメントを補正した結果は良く一致してゐる。偏心を考慮した場合としない場合とでは、かなりの差がみられる。また(b)については、変位は顕著な差がみられなかったが一般的に必要となる断面力（モーメント）図-9では、偏心による影響が表われてゐる。これらより、複雑な構造物を厳密に解析するようになる、また現在では、“軸の偏心”ということに対して十分留意されるべきであると思われる。また曲げねじり効果を考慮するような構造物に対しては、“セリ断中心の不連続性”ということについても今後検討しなくては必要があるかもしれない。最後はこれらの計算は、CDCC600ASKA BECOS, BECOSX Elementを使用した行ひた。

5. 参考文献

- (1) Dlasov : 奥村外兵衛 “薄肉弾性体の理論” 技報堂
- (2) Balmer : 武田 謙 “ASKAとそれの一般の梁要素” I S D Report No. 75.